

# 특이모드범함수재규격화군방법을 리용한 보존전파함수 계산에서 제기되는 적분분할방법

박위성, 오성진

특이모드범함수재규격화군방법은 범함수재규격화군방법의  $N$ -patch계산도식을 개량한 것으로서 고온초전도체를 비롯한 강상관전자계의 유효호상작용을 계산하는 효과적인 방법으로 알려져있다.[1, 2] 이 방법을 리용하면 브릴루앵구역을 보다 세밀히 분할할 때  $N$ -patch도식에 비하여 계산시간이 훨씬 줄어들며 소요되는 기억용량도 현저히 작아진다. 그러므로 이 방법은 철기지초전도체와 위상학적초전도체 등의 호상작용전자계에서 상관효과를 연구하는데 널리 리용되고있다.[3-5]

특이모드범함수재규격화군방법의 흐름방정식을 풀 때 대부분의 계산시간은  $\alpha_m^{SC}(\mathbf{p}, l)$ ,  $\alpha_m^M(\mathbf{p}, l)$ ,  $\alpha_m^K(\mathbf{p}, l)$  함수들을 구하기 위한 적분계산에 소비된다. 원리적으로 브릴루앵구역의 분해도를 높이면 계산결과는 더 정확해질수 있다. 그러나 계산시간은 분해도의 2제곱에 비례하여 커진다. 총체적인 계산시간중에서 이 적분계산시간이 기본몫을 차지하므로 정확도와 계산시간사이의 합리적인 균형을 보장해야 한다.

논문에서는 브릴루앵구역의 분해도에 따르는 계산결과의 분산성을 조사하고 계산결과에 그리 큰 차이를 주지 않는 최소분해도값을 확정하였다.

## 1. 특이모드범함수재규격화군방법

일반적으로 범함수재규격화군방법에서는 미적분방정식형태의 흐름방정식을 풀어 4개의 운동량변수를 포함하는 정점함수(유효호상작용)를 구한다. 종전의  $N$ -patch계산도식에서는 3개의 운동량변수들이 페르미면을 횡단하도록 브릴루앵구역을 가늘고 긴 조각들인  $N$ 개의 patch들로 나타내며 흐름방정식은  $N^3$ 에 비례하는 개수의 미분방정식계로 된다.

특이모드범함수재규격화군방법에서는 흐름방정식이 나타내는 특이성에 대한 분석에 기초하여  $N$ -patch도식에 비하여 훨씬 단순한 새로운 정점함수표시방법을 도입하였다.

2차원  $(t, t')$  하바드모형

$$\hat{H} = \sum_{\mathbf{p}, \sigma} e(\mathbf{p}) \hat{a}_{\mathbf{p}, \sigma}^+ \hat{a}_{\mathbf{p}, \sigma} + U \sum_{\mathbf{p}_1, \mathbf{p}_2, \mathbf{p}_3} \hat{a}_{\mathbf{p}_1, \uparrow}^+ \hat{a}_{\mathbf{p}_2, \downarrow}^+ \hat{a}_{\mathbf{p}_3, \downarrow} \hat{a}_{\mathbf{p}_1 + \mathbf{p}_2 - \mathbf{p}_3, \uparrow}$$

$$e(\mathbf{p}) = -2t(\cos p_x + \cos p_y) - 4t' \cos p_x \cos p_y - \mu$$

의 경우에 특이모드범함수재규격화군방법의 절차를 설명하면 다음과 같다.

우선 변수  $\Omega$ 에 대응되는 정점함수 즉 재규격화된 유효호상작용을 초전도, 자성 및 직접산란의 세 통로들로 분해한다.

$$V^\Omega(p_1, p_2; p_3, p_4) = U - \Phi_{SC}^\Omega(p_1, p_4, p_1 + p_2) + \Phi_M^\Omega(p_1, p_2, p_4 - p_1) +$$

$$+ \Phi_M^\Omega(p_1, p_2, p_2 - p_4)/2 - \Phi_K^\Omega(p_1, p_2, p_2 - p_4)/2 \quad (1)$$

여기서  $V^\Omega(p_1, p_2; p_3, p_4)$ 는 재규격화된 유효호상작용,  $U$ 는 하바드모형의 쿨롱반발적분,  $\Phi_{SC}^\Omega, \Phi_M^\Omega, \Phi_K^\Omega$ 는 각각 초전도, 자성 및 직접산란통로의 유효호상작용이다.

한편 초전도통로의 유효호상작용  $\Phi_{SC}^\Omega$ 는 적당히 설정한 표준직교토대함수  $f_n$ 을 통해 다음과 같이 전개한다.

$$\Phi_{SC}^\Omega(q, q', l) = \sum_{m, n \in I} D_{mn}^\Omega(l) f_m(l/2 - q) f_n(l/2 - q') + R_{SC}^\Omega(q, q', l) \quad (2)$$

웃식에서 전개는 유한한 수의 토대모임  $I$ 로 제한되며 나머지함수  $R_{SC}^\Omega$ 는 이와 같은 전개의 오차를 반영한다. 그리고 전개계수  $D_{mn}^\Omega(l)$ 을 초전도보존전과함수라고 부른다.

자성통로 및 직접산란통로의 유효호상작용도 자성보존전과함수  $M_{mn}^\Omega(l)$ , 직접산란보존전과함수  $K_{mn}^\Omega(l)$ 을 통하여 유사한 형식으로 전개한다.

$$\Phi_M^\Omega(q, q', l) = \sum_{m, n \in I} M_{mn}^\Omega(l) f_m(q + l/2) f_n(q' - l/2) + R_M^\Omega(q, q', l) \quad (3)$$

$$\Phi_K^\Omega(q, q', l) = \sum_{m, n \in I} K_{mn}^\Omega(l) f_m(q + l/2) f_n(q' - l/2) + R_K^\Omega(q, q', l) \quad (4)$$

정점함수에 대한 재규격화군방정식에 위의 전개식들을 대입하면 보존전과함수들에 대한 흐름방정식이 얻어진다.

주파수무시근사(실례로  $D_{mn}^\Omega(l) = D_{mn}^\Omega(l_0, l) \approx D_{mn}^\Omega(l)$ 로 놓는 근사)에서 흐름방정식은 다음과 같다.[2]

초전도통로

$$\begin{aligned} \frac{d}{d\Omega} D_{mn}^\Omega(l) = & \sigma_m \frac{1}{\Omega_B} \int_{\Omega_B} d^2 p \left[ \frac{d}{d\Omega} \left( \frac{1}{2\pi\hbar} \int_{-\infty}^{+\infty} dp_0 G(p) G(l-p) \right) \right] \cdot \\ & \cdot \left[ \sum_{\beta \in I} D_{m\beta}(l) f_\beta(l/2 - p) - U \delta_{ms} - \alpha_m^{SC}(p, l) \right] \cdot \\ & \cdot \left[ \sum_{\beta \in I} D_{n\beta}(l) f_\beta(l/2 - p) - U \delta_{ns} - \alpha_n^{SC}(p, l) \right] \end{aligned} \quad (5)$$

여기서  $\sigma_m$ 은 토대함수  $f_m$ 의 짝홀성을 나타내는 양으로서  $f_m(-p) = \sigma_m f_m(p)$ 로 정의되며

$$G(p) = G(p_0, p) = \frac{1}{ip_0 - (E(p) - \mu)/\hbar} \cdot \frac{p_0^2}{p_0^2 + \Omega^2} \text{ 이다.}$$

또한  $\Omega_B$ 는 2차원브릴루앵구역의 면적이며  $\alpha_m^{SC}$ 함수는 다음과 같이 정의된다.

$$\begin{aligned} \alpha_m^{SC}(p, l) = & \frac{1}{2\Omega_B} \int_{\Omega_B} d^2 q f_m^*(l/2 - p - q) \cdot \sum_{\alpha, \beta \in I} [(2 + \sigma_m) M_{\alpha\beta}(q) - \sigma_m K_{\alpha\beta}(q)] \cdot \\ & \cdot f_\alpha(l - p - q/2) f_\beta(p + q/2) \end{aligned} \quad (6)$$

자성통로

$$\frac{d}{d\Omega} M_{mn}^\Omega(l) = -\frac{1}{\Omega_B} \int_{\Omega_B} d^2 p \left[ \frac{d}{d\Omega} \left( \frac{1}{2\pi\hbar} \int_{-\infty}^{+\infty} dp_0 G(p) G(l-p) \right) \right] \cdot$$

$$\begin{aligned} & \cdot [\sum_{\beta \in I} M_{m\beta}(l) f_{\beta}(p+l/2) + U\delta_{ms} + \alpha_m^M(p, l)] \cdot \\ & \cdot [\sum_{\beta \in I} M_{n\beta}(l) f_{\beta}(p+l/2) + U\delta_{ns} + \alpha_n^M(p, l)] \end{aligned} \quad (7)$$

$$\begin{aligned} \alpha_m^M(p, l) = & \frac{1}{2\Omega_B} \int_{\Omega_B} d^2 q f_m^*(p+l/2-q) \cdot \sum_{\alpha, \beta \in I} (M_{\alpha\beta}(q) - K_{\alpha\beta}(q) - 2\sigma_m D_{\alpha\beta}(q)) \cdot \\ & \cdot f_{\alpha}(p-q/2) f_{\beta}(p+l-q/2) \end{aligned} \quad (8)$$

직접산란통로

$$\begin{aligned} \frac{d}{d\Omega} K_{mn}^{\Omega}(l) = & -\frac{1}{\Omega_B} \int_{\Omega_B} d^2 p \left[ \frac{d}{d\Omega} \left( \frac{1}{2\pi\hbar} \int_{-\infty}^{+\infty} dp_0 G(p) G(l-p) \right) \right] \cdot \\ & \cdot [\sum_{\beta \in I} K_{m\beta}(l) f_{\beta}(p+l/2) - U\delta_{ms} - \alpha_m^K(p, l)] \cdot \\ & \cdot [\sum_{\beta \in I} K_{n\beta}(l) f_{\beta}(p+l/2) - U\delta_{ns} - \alpha_n^K(p, l)] \end{aligned} \quad (9)$$

$$\begin{aligned} \alpha_m^K(p, l) = & \frac{1}{2\Omega_B} \int_{\Omega_B} d^2 q f_m^*(p+l/2-q) \cdot \sum_{\alpha, \beta \in I} (3M_{\alpha\beta}(q) + K_{\alpha\beta}(q) + 2\sigma_m(1-2\sigma_{\alpha})D_{\alpha\beta}(q)) \cdot \\ & \cdot f_{\alpha}(p-q/2) f_{\beta}(p+l-q/2) \end{aligned} \quad (10)$$

절단변수  $\Omega$ 를  $+\infty$ 로부터 시작하여 로그척도로 감소시키면서 우의 흐름방정식들을련립시켜 수값적분하면 보존전파함수들이 얻어진다. 보존전파함수들의 초기값은  $\Omega = +\infty$ 일 때 0으로 놓으며 어느 한 보존전파함수값이 턱값  $V_{\text{최대}}$ 를 초과하면 수값적분을 끝내고 얻어진 보존전파함수값들에 기초하여 계의 질서화를 분석평가한다.

## 2. $\alpha$ 함수들의 적분계산에서 합리적인 브릴루앵구역분할방법

보존전파함수들의 흐름방정식을 수값적분하는데서 시간이 가장 많이 소비되는 부분은 주어진 운동량  $l$ 에 대하여 브릴루앵구역전반에 걸쳐 운동량  $p$ 를 변화시키면서  $\alpha_m^{\text{SC}}(p, l)$ ,  $\alpha_m^M(p, l)$ ,  $\alpha_m^K(p, l)$  함수들을 구하는것이다. 이를 위해서는 식 (6), (8), (10)에 따라 수값적분을 진행해야 하는데 여기에서 제기되는 문제는 적분  $\frac{1}{\Omega_B} \int_{\Omega_B} d^2 q$ 를 실시할 때

브릴루앵구역에서 변수  $q$ 를 어느 정도 세밀히 분할해야 하는가 하는것이다. 구체적으로  $\alpha$ 함수들은 다음의 계차도식에 따라 수값적분한다.

$$\alpha(p, l) = \frac{1}{\Omega_B} \int_{\Omega_B} d^2 q F(q; p, l) \approx \frac{1}{N_{\alpha}^2} \sum_{i=1}^{N_{\alpha}} \sum_{j=1}^{N_{\alpha}} F(q_{ij}; p, l) \quad (11)$$

여기서  $q_{ij} = (-\pi, -\pi) + (i/N_{\alpha}) \cdot (0, 2\pi) + (j/N_{\alpha}) \cdot (0, 2\pi)$  이다. 이때  $N_{\alpha}$ 를 브릴루앵구역의 분해도라고 부른다.

한편 피적분식  $F(q; p, l)$ 에는 토대함수와 보즈전파함수들이 있는데 이것들은 브릴루앵구역에 분포된 유한개의 마디점들에 대한 함수값들로 주어져있으며 다른 점들에서의 값은 주변마디점값들로부터 2차원선형보간하여 얻는다.

특히 토대함수값들은 브릴루앵구역을  $x, y$ 축방향으로  $N_{BZ}$ 등분하여 얻어진 마디점들에 대하여 주어져있다. 그러므로  $\alpha$ 함수계산에서 분해도  $N_\alpha$ 를 토대함수의 분해도  $N_{BZ}$ 보다 크게 할 필요는 없다. 총체적인 계산시간을 줄이기 위해서는 정확도를 보장하는 한도에서 분해도를 될수록 낮추어야 한다.

합리적인 분해도값을 찾기 위하여 우리는 다음과 같은 시험계산을 계획하였다.

우선  $N_\alpha = N_{BZ}$ 로 놓고 주어진 운동량  $l$ 에 대하여 운동량  $p$ 는 브릴루앵구역을 가로세로  $N_L$ 등분( $N_L$ 은  $N_{BZ}$ 보다 1/4정도로 작게 설정함)하여 얻어진 마디점값  $p_{kl}$ 들로 변화시키면서  $\alpha$ 함수값들을 구한다.

$$\alpha_0(p_{kl}, l) = \frac{1}{N_{BZ}^2} \sum_{i=1}^{N_{BZ}} \sum_{j=1}^{N_{BZ}} F(q_{ij}; p_{kl}, l) \quad (12)$$

다음  $N_\alpha$ 를  $N_{BZ} - 1$ 부터  $N_{최소}$ 까지 하나씩 줄이면서  $\alpha$ 함수값들을 구한다.

$$\alpha(p_{kl}, l) = \frac{1}{N_\alpha^2} \sum_{i=1}^{N_\alpha} \sum_{j=1}^{N_\alpha} F(q_{ij}; p_{kl}, l) \quad (13)$$

다음으로 다음식에 따라 보존전파함수의 크기를 나타내는 파라메터  $D, M, K$ 와 편차량을 나타내는 파라메터  $dD, dM, dK$ 들을 구한다.

$$D = \sum_m \sum_{k,l} |\alpha_{0m}^{SC}(p_{kl}, l)|, \quad M = \sum_m \sum_{k,l} |\alpha_{0m}^M(p_{kl}, l)|, \quad K = \sum_m \sum_{k,l} |\alpha_{0m}^K(p_{kl}, l)| \quad (14)$$

$$dD = \sum_m \sum_{k,l} |\alpha_m^{SC}(p_{kl}, l) - \alpha_{0m}^{SC}(p_{kl}, l)|, \quad dM = \sum_m \sum_{k,l} |\alpha_m^M(p_{kl}, l) - \alpha_{0m}^M(p_{kl}, l)|, \\ dK = \sum_m \sum_{k,l} |\alpha_m^K(p_{kl}, l) - \alpha_{0m}^K(p_{kl}, l)| \quad (15)$$

우리는  $N_{BZ} = 64, N_L = 64, N_{최소} = 10$ 으로 놓았다. 그리고 하바드모형의 파라메터들을  $t = 1.0, t' = -0.3, U = 3.0, \mu = 4t'$ 로 놓고 시험계산을 진행하였다.

그림 1에  $N_\alpha$ 에 따르는 상대편차량  $dD/D, dM/M, dK/K$ 의 변화곡선을 보여주었다.

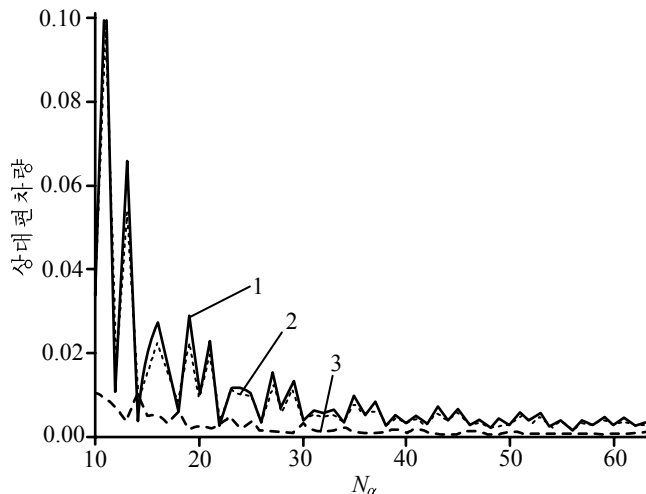


그림 1.  $N_\alpha$ 에 따르는 상대편차량의 변화곡선(1- $dD/D$ , 2- $dM/M$ , 3- $dK/K$ )

그림 1에서 알수 있는것처럼  $N_\alpha \geq 30$  일 때에는 세가지 상대편차량들이 전부 0.01미만이다. 그러므로 우리는 분해도를  $N_\alpha = N_{BZ}/2 = 32$ 로 설정하였다.

분해도를 64 및 32로 놓은 경우에 얻어진 두가지 보존전파함수  $M_{11}^\Omega(\mathbf{l})$  과  $D_{33}^\Omega(\mathbf{l})$  (이 두가지는 그중 큰 값을 가지는 보존전파함수이다.)의 최종계산결과를 그림 2와 3에 대비적으로 보여주었다.

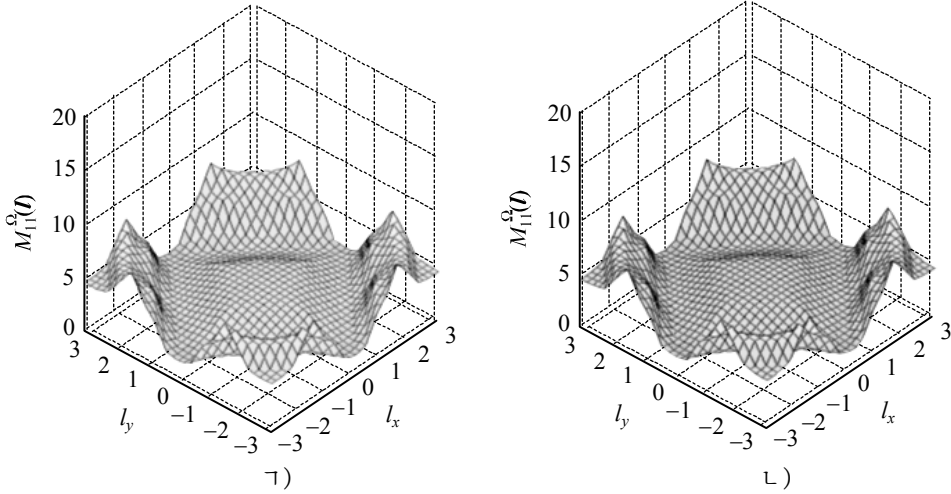


그림 2. 보존전파함수  $M_{11}^\Omega(\mathbf{l})$  의 계산결과

ㄱ)  $N_\alpha=64$ 의 경우, ㄴ)  $N_\alpha=32$ 의 경우

그림 2와 3에서 보다싶이 두가지 분해도에 기초하여 얻어진 계산결과는 거의 일치한다. 이것은 분해도를  $N_\alpha = N_{BZ}/2 = 32$ 로 설정한 우리의 선택이 합리적이라는것을 보여준다.

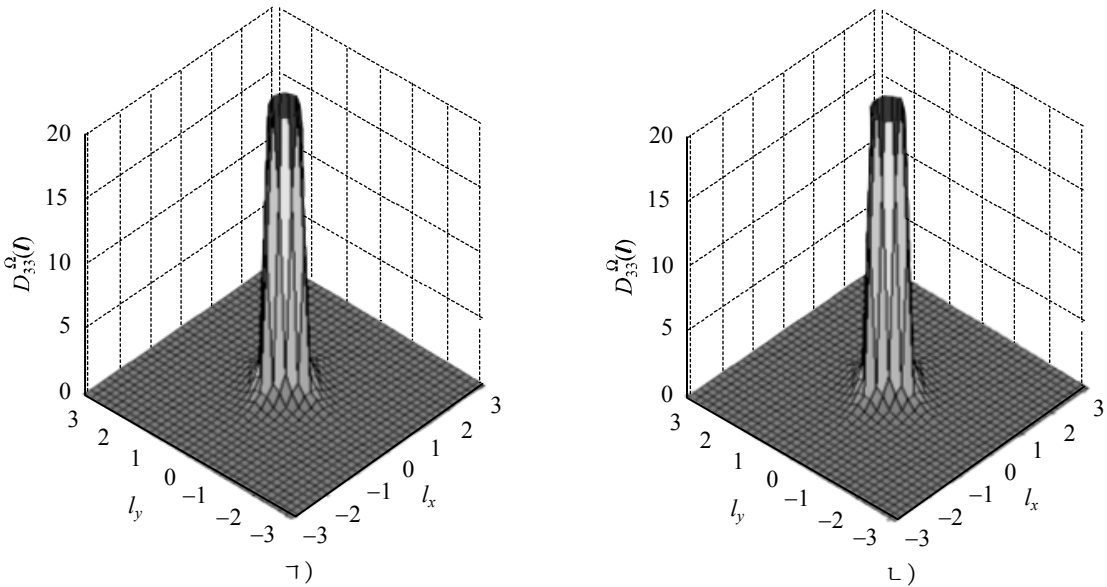


그림 3. 보존전파함수  $D_{33}^\Omega(\mathbf{l})$  의 계산결과

ㄱ)  $N_\alpha=64$ 의 경우, ㄴ)  $N_\alpha=32$ 의 경우

## 맺 는 말

보존전파함수들의 흐름방정식풀이과정에 시간이 제일 많이 걸리는  $\alpha$ 함수들의 적분계산에서 합리적인 브릴루앵구역분할방법을 탐색하였다. 시험계산결과에 의하면  $\alpha$ 함수들의 적분계산에서 브릴루앵구역의 분해도  $N_\alpha$ 를 토대함수에 대한 마디점분할수  $N_{BZ}$ 의 절반정도로 놓는것이 좋다. 이 경우에 보존전파함수계산결과는 거의 같으나 계산시간은 1/4정도로 작아진다. 시험계산에서  $N_\alpha=64$ 로 놓았을 때 전체 계산시간은 115 072s이지만  $N_\alpha=32$ 로 놓았을 때에는 29 196s로 훨씬 단축된다.

## 참 고 문 헌

- [1] C. Husemann et al.; Phys. Rev., B 79, 195125, 2009.
- [2] C. Husemann et al.; arXiv:0812.3824.
- [3] W. S. Wang et al.; Phys. Rev., B 85, 035414, 2012.
- [4] Y. Y. Xiang et al.; Phys. Rev., B 86, 024523, 2012.
- [5] Y. Y. Xiang et al.; Phys. Rev., B 88, 104516, 2013.

주체106(2017)년 9월 5일 원고접수

## On Integral Resolution for Calculation of Boson Propagator using Singular Mode Functional Renormalization Group

*Pak Wi Song, O Song Jin*

A reasonable division of Brillouin zone is investigated for integration of  $\alpha$  functions which is the most time-consuming process in solving the flow equation for boson propagators. By our test calculation, we strongly recommend that the integral resolution for the  $\alpha$  functions- $N_\alpha$  has to be about half a resolution for base functions- $N_{BZ}$ .

Using this resolution, we get nearly equal values of the boson propagators as for  $N_\alpha=N_{BZ}$ , yet consume only a quarter of the time elapse.

In our test calculation, the whole elapsed time is 115 072seconds for  $N_\alpha=64$ , while 29 196seconds for  $N_\alpha=32$ . Nevertheless both results are in good agreement.

Key words: strongly correlated electron system, Hubbard model